

вые периоды закрытия прекапиллярных сфинктеров и открытия венозных клапанов, а также периоды сокращения и расслабления гладких мышц. Внешний вид сосуда определяется соотношением между объемом сокращенного и расслабленного состояния. Сокращение мышцы приводит к уменьшению объема сосуда, а расслабление — к его увеличению.

УДК 612.741.61+612.261

Ю. Н. Онопчук, А. И. Соловьев

РОЛЬ КИСЛОРОДНОГО РЕЖИМА СОСУДИСТОЙ СТЕНКИ В РАЗВИТИИ ПОСТКОНТРАКЦИОННОЙ ГИПЕРЕМИИ СКЕЛЕТНЫХ МЫШЦ

Ни одна из существующих в настоящее время гипотез регуляции сосудистого тонуса не дает, к сожалению, исчерпывающего ответа на вопрос о механизмах формирования функциональной гиперемии скелетных мышц. Еще менее ясны механизмы постконтракционной гиперемии.

Ранее нами [1] с помощью имитационной математической модели была исследована динамика потоков кислорода к сосудистой стенке во время функциональной гиперемии. Показано, что гладкие мышцы сосудов в течение примерно 30 с после начала субмаксимальной физической нагрузки находятся в условиях выраженного дефицита кислородной. Учитывая высокую чувствительность сосудистых гладких мышц к изменениям их уровня оксигенации [2], можно сделать вывод о возможности участия кислородозависимых механизмов регуляции кровотока в иницииации функциональной гиперемии.

В настоящей работе на основе математического моделирования и экспериментальных исследований на животных делается попытка проанализировать явление массопереноса кислорода в системе сосудистая стенка — мышечная ткань во время постконтракционной гиперемии и оценить роль дефицита кислорода в регуляции кровотока в послерабочем периоде.

В качестве модели тканевого резервуара, как и прежде [1], была выбрана модель Крода с обобщенным кровеносным сосудом. Динамика напряжений кислорода (P_{O_2}) в исследуемой системе описывается следующей системой дифференциальных уравнений:

$$\frac{dP_{\text{kO}_2}^j}{dt} = \frac{1}{\alpha V_k^j} \left[\alpha \dot{Q} (P_{\text{kO}_2}^{j-1} - P_{\text{kO}_2}^j) + Hb \cdot \gamma_{\text{Hb}} \cdot \dot{Q} (\eta_k^{j-1} - \eta_k^j) - G^j - Hb \cdot \gamma_{\text{Hb}} \cdot V_k^j \frac{d\eta_k^j}{dt} \right], \quad j = \overline{1, n}, \quad P_{\text{kO}_2}^0 = P_{\text{aO}_2}, \quad \eta_k^0 = \eta_a; \quad (1)$$

$$\frac{dP_{\text{ccO}_2}}{dt} = \frac{1}{\alpha_{\text{cc}} V_{\text{cc}}} [G_{\text{cc}} - \dot{q}_{\text{cc}}], \quad (2)$$

$$\frac{dP_{\text{tO}_2}}{dt} = \frac{1}{\alpha_{\text{t}} V_{\text{t}}} \left[G_{\text{t}} - \dot{q}_{\text{t}} - Mb \cdot \gamma_{\text{MB}} \cdot V_{\text{t}} \cdot \frac{d\eta_{\text{t}}}{dt} \right], \quad (3)$$

$$G_{\text{cc}}^j = n_{\text{cc}} \cdot k_{\text{cc}} \cdot S_{\text{cc}}^j (P_{\text{kO}_2}^j - P_{\text{ccO}_2}), \quad (4)$$

$$G_{\text{t}}^j = n_{\text{t}} \cdot k_{\text{t}} \cdot S_{\text{t}}^j (P_{\text{kO}_2}^j - P_{\text{tO}_2}), \quad (5)$$

$$G^j = G_{\text{cc}}^j + G_{\text{t}}^j, \quad (6)$$

$$G_{\text{cc}} = \sum_i G_{\text{cc}}^i, \quad (7)$$

$$G_{\text{t}} = \sum_i G_{\text{t}}^i, \quad (8)$$

где P_{aO_2} , $P_{\text{kO}_2}^j$, P_{ccO_2} , P_{tO_2} — концентрации кислорода в артериальной крови, в тканевой жидкости и в крови капиллярах; G_{cc} , G_{t} — характер тканевый резервуару.

резервуарах. В (1) α_{cc} , α_{t} — коэффициенты ткани сосуда площади поверхности.

Предположим, что находится в равновесии процессов, т. е. модели (1—8) эволюционном, хотя и Скорости доставки тканевой резервуару.

Естественно, что ной скорости ткани.

В момент времени скорости переход к состоянию $\dot{q}_{\text{cc}} = \dot{q}_{\text{t}} = \text{const}$, при

Предполагается, что тканевыми сосудами не может быть.

В новых условиях кислорода в тканевой резервуаре, т. е.

а это в соответствии с родному запросу.

При этом из сущестует, что вы

где C_{aO_2} и C_{bO_2} — концентрации кислорода в артерии и вене соответственно.

что позволит удовлетворить условиям, предъявляемым к моделированию.

Однако, выбора венозного резервуара, а это в сущест-

где P_{aO_2} , $P_{k\text{O}_2}$, P_{ccO_2} , P_{to_2} — парциальные напряжения кислорода в артериальной крови, порциях крови тканевых капилляров, сосудистой стенке и в тканевой жидкости, соответственно; η_k^i — степень насыщения гемоглобина в крови капилляров, η_t — степень насыщения миоглобина в скелетных мышцах; G_{cc} , G_t характеризует потоки кислорода из крови в стенку сосуда и тканевый резервуар, а \dot{q}_{cc} , \dot{q}_t — скорости потребления кислорода в этих резервуарах. В (1—3) \dot{Q} — объемная скорость регионарного кровотока, α , α_{cc} , α_t — коэффициенты растворимости кислорода в крови, гладкомышечной ткани сосуда и скелетной мышце, V — объемы. В (4—5) S_{cc}^i , S_t^i — площади поверхности газообмена, n_{cc} , k_{cc} , n_t , k_t — коэффициенты.

Предположим, что до момента времени t_0 исследуемая система находится в равновесном состоянии при высоком уровне обменных процессов, т. е. в состоянии физической нагрузки. С точки зрения модели (1—8) это означает, что P_{ccO_2} и P_{to_2} поддерживаются на стабильном, хотя и низком по сравнению с состоянием покоя, уровне. Скорости доставки кислорода к гладким мышцам сосудов (G_{cc}) и в тканевой резервуар (G_t) соответствуют его потреблению, т. е.

$$G_{\text{cc}} = \dot{q}_{\text{cc}}, G_t = \dot{q}_t. \quad (9)$$

Естественно, что такая ситуация возможна лишь при высокой объемной скорости тканевого кровотока \dot{Q} .

В момент времени t_0 (см. рисунок, А) имитируется резкое снижение скорости потребления кислорода в тканевом резервуаре (переход к состоянию покоя). Это означает, что $\dot{q}_t(t \geq t_0) = \bar{q}_t$, $\dot{q}_{\text{cc}}(t \geq t_0) = \bar{q}_{\text{cc}} = \text{const}$, притом

$$\bar{q}_t \ll \dot{q}_t. \quad (10)$$

Предполагается, что величина потребления кислорода гладкими мышцами сосудов не меняется.

В новых условиях, как нетрудно видеть, скорость доставки кислорода в тканевой резервуар будет превышать скорость его потребления, т. е.

$$G_t(t_0 + \Delta t) \gg \dot{q}_t(t_0 + \Delta t), \quad (11)$$

а это в соответствии с алгоритмом регуляции кровотока \dot{Q} по кислородному запросу [4], должно привести к снижению \dot{Q} .

При этом из анализа модели регуляции \dot{Q} по кислородному запросу следует, что выбор \dot{Q} в виде

$$\dot{Q}(t_0) = \frac{\dot{q}_t(t_0)}{C_{\text{aO}_2} - C_{\text{bO}_2}}, \quad (12)$$

где C_{aO_2} и C_{bO_2} — содержание кислорода в артериальном и венозном конце обобщенного сосуда, может обеспечить равенство

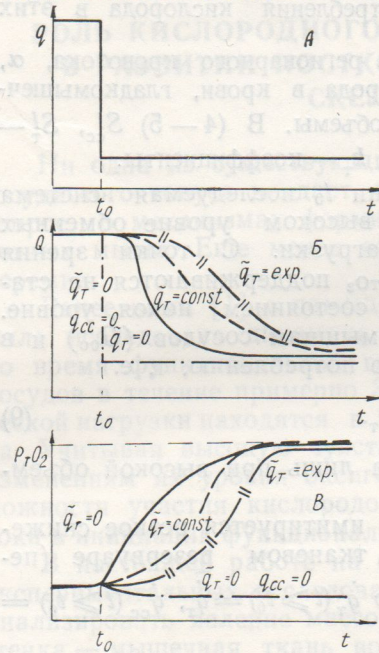
$$G_t(t_0) = \dot{q}_t(t_0), \quad (13)$$

что позволяет удерживать P_{to_2} на постоянном уровне.

Однако, выбор \dot{Q} в виде (12) означает снижение тканевого кровотока, а это в силу (1) приведет к падению P_{to_2} и, как следует из

(4), к дефициту кислорода в гладкомышечной ткани сосудистой стенки, $G_{cc} \ll q_{cc}$.

Таким образом, в момент внезапного прекращения нагрузки обменные запросы тканевого резервуара и гладких мышц сосудов оказываются в значительной степени отличными. Для мышечной ткани оптимальным является снижение кровотока, в то время как для поддержания заданного кислородного режима сосудистой стенки кровоток должен быть высоким.



Поскольку модель регуляции кровотока по кислородному запросу, как отмечалось, реагирует прежде всего на возникновение дефицита кислорода, то в интервале $[t_0, t_0 + \Delta t]$ кровоток не должен резко снижаться от уровня, достигнутого во время выполнения физической нагрузки. Это и наблюдается в условиях физиологического эксперимента на животных.

Высокий в сравнении с исходным уровень кровотока в соответствии с (5), (2) и (11) приведет к повышению P_{TO_2} в

Динамика величин потребления кислорода (A), объемной скорости кровотока (B) и напряжения кислорода (C) в скелетных мышцах во время постконтракционной гиперемии.

Объяснения в тексте.

интервале $[t_0 + \Delta t, t_0 + 2\Delta t]$, что в свою очередь будет способствовать повышению P_{O_2} в крови и, как следствие, увеличению потока кислорода к сосудистой стенке. При этом $G_{cc} > q_{cc}$.

Исходя из алгоритма регуляции кровотока по кислородному запросу, прежний уровень тканевого кровотока становится излишне высоким и для сосудистых, и для скелетных мышц. Поэтому в следующий интервал времени следует ожидать снижение величины кровотока (см. рисунок, B).

Таким образом, эксперименты на математической модели даже без учета возможного влияния на характер кровотока величины кислородного долга служат основанием для признания весьма существенной роли кислородного режима сосудистой стенки в регуляции кровотока при постконтракционной гиперемии.

Известно вместе с тем, что во время интенсивной мышечной работы в тканях организма накапливаются недоокисленные продукты обмена (прежде всего молочная кислота), которые в процессе восстановительного периода утилизируются с определенной скоростью.

Пусть \dot{g}_t — кислородный эквивалент скорости утилизации (доокисления) продуктов метаболизма. Очевидно, что часть кислорода, поступающего в тканевой резервуар в восстановительном периоде, будет использоваться для окисления этих продуктов обмена. В связи с этим математическая модель (1—8) должна быть модифицирована. В частности, уравнение (3) должно быть записано в виде

$$\frac{dP_{TO_2}}{dt} = \frac{1}{\alpha_t V_t} \left[C_t - \dot{q}_t - \tilde{\dot{q}}_t - Mb \cdot \gamma_{mb} \cdot V_t \cdot \frac{d\eta_t}{dt} \right], \quad (14)$$

причем, если через KD обозначить величину кислородного долга, а через

Роль кислородного

t — длительность
условие $\int_0^t \tilde{\dot{q}}_t(\tau) d\tau$

Простой ана-

$t > t_0$ будет сущ-

востановительно-

рисунок, B).

В самом дел-

т. е. $\dot{g}_t = \text{const}$ до

Тогда в мом-

ки, в силу выше-

оставаться на ур-

в предыдущем сл-

P_{TO_2} будет огран-

будет использо-

в обмена.

Нетрудно убе-

станет более поло-

Если же фун-

нотонно убываю-

существенно изме-

дет поддерживать

тем кровоток сни-

на уровень, соот-

симости от закон

(см. рисунок, B).

нутом во время н-

дет зависеть от в-

тельного периода.

Нами была пр-

положений в усло-

наркотизированны

и регистрировали

РКЭ—2 показали

при ингаляции газ-

азоте (длительнос-

седалищного нерва

Существуют д-

зовой смеси, соде-

низких значениях

полученными при

восстановительные

роткие сроки, так

составляет более бы-

В наших опыта-

ки на дыхание ги-

целью исключения

зующегося кислоро-

привести к измене-

риоде и укорочени

Действительно,

t — длительность восстановительного процесса, то должно выполняться условие $\int_0^t q_t(\tau) d\tau = KD$.

Простой анализ модели показывает, что от вида функции $g(\tau)$, $\tau > t_0$ будет существенно зависеть характер траектории кровотока в восстановительном периоде и сама длительность этого периода (см. рисунок, Б).

В самом деле, пусть погашение KD идет с постоянной скоростью, т. е. $\dot{q}_t = \text{const}$ до тех пор, пока $KD \geq 0$; при $KD = 0$, $\dot{q}_t = 0$.

Тогда в момент времени $t = t_0$, т. е. в момент прекращения нагрузки, в силу вышеуказанных условий, величина кровотока \dot{Q} должна оставаться на уровне, достигнутом во время мышечной работы. Как и в предыдущем случае, это приведет к тому, что $G_t = g_t$. Однако, рост $P_{\text{то}_2}$ будет ограничен, т. к. часть кислорода, как это следует из (14), будет использоваться для утилизации недоокисленных продуктов обмена.

Нетрудно убедиться, что траектория изменения \dot{Q} в этих условиях станет более пологой (см. рисунок, Б).

Если же функция $\dot{q}(\tau)$, $\tau > t_0$ будет вести себя как нелинейная монотонно убывающая функция, то можно ожидать, что траектория \dot{Q} существенно изменится. Интервал времени, в течении которого \dot{Q} будет поддерживаться на достаточно высоком уровне, удлинится, а затем кровоток снизится и к концу восстановительного периода выйдет на уровень, соответствующий состоянию покоя. Характерно, что в зависимости от закона изменения $\dot{q}(\tau)$, $\tau > t_0$ меняется и динамика $P_{\text{то}_2}$ (см. рисунок, В). При $\dot{q}(\tau) = 0$, $\tau > t_0 P_{\text{то}_2}$ останется на уровне, достигнутом во время нагрузки. Скорость роста $P_{\text{то}_2}$ при $\dot{q}(\tau) \equiv 0$, $\tau \geq t_0$ будет зависеть от величины $\dot{q}(\tau)$ в каждый момент времени восстановительного периода.

Нами была произведена проверка ряда приведенных теоретических положений в условиях физиологического эксперимента. В опытах на наркотизированных собаках по известной методике [5] воспроизводили и регистрировали с помощью электромагнитного расходомера крови РКЭ-2 показали постконтракционной гиперемии икроножной мышцы при ингаляции газовых смесей, содержащих 21 % и 87 % кислорода в азоте (длительность электрической стимуляции периферического конца седалищного нерва 1 мин).

Существуют данные [6], что мышечная работа при ингаляции газовой смеси, содержащей 47,5 % кислорода, выполняется при более низких значениях молочной кислоты в крови по сравнению с данными, полученными при дыхании атмосферным воздухом. Полагают [3], что восстановительные процессы в этом случае осуществляются в более короткие сроки, так как избыточное количество кислорода в крови способствует более быстрому окислению продуктов обмена.

В наших опытах перевод животных во время физической нагрузки на дыхание гипероксическими газовыми смесями использовался с целью исключения (или, по крайней мере, уменьшения) величины образующегося кислородного долга. В соответствии с моделью, это должно привести к изменению динамики кровотока в восстановительном периоде и укорочению его продолжительности.

Действительно, выраженная постконтракционной гиперемии за-

метно уменьшается. Величина пикового кровотока, отражающаяся степень максимальной вазодилатации в послерабочем периоде, уменьшилась в среднем на 20 % по сравнению с нормоксическим уровнем. Но в значительно большей степени (почти в 3 раза) снизилась продолжительность постконтракционной гиперемии. При этом траектория восстановления кровотока характеризуется более крутым наклоном, как это и предсказывалось моделью (см. рисунок, Б).

Итак, 1) в формировании уровня сосудистого тонуса, а следовательно и кровотока в мышечной ткани во время постконтакционной гиперемии, существенная роль принадлежит изменениям кислородного режима сосудистой стенки; 2) динамика кровотока в послерабочем периоде определяется количеством и скоростью утилизации недоокисленных продуктов обмена, образовавшихся в процессе мышечной деятельности вследствие формирования кислородного долга.

Ю. Н. Онопчук, А. И. Соловьев

THE ROLE OF VASCULAR WALL OXYGEN REGIME IN THE DEVELOPMENT OF POSTCONTRACTION HYPEREMIA OF SKELETAL MUSCLES

Summary

Experiments on an imitation mathematical model with concentrated parameters as well as on anesthetized dogs show that oxygen regime of the vascular wall plays an important role in mechanisms of the blood flow formation in skeletal muscles during postcontraction hyperemia. It is established that blood flow dynamics in the postexercise period depends on the amount and utilization rate of metabolic products formed during execution of muscular exercises due to oxygen debt.

Institute of Cybernetics, Academy of Sciences,
Ukrainian SSR, Kiev; A. A. Bogomolets Institute of Physiology,
Academy of Sciences, Ukrainian SSR, Kiev

Список литературы

- Берштейн С. А., Онопчук Ю. Н., Соловьев А. И. Динамика кислородного режима сосудистой стенки при функциональной гиперемии скелетных мышц и артериальной гипоксии. — Физiol. журн., 1981, 27, № 5, с. 658—662.
- Гуревич М. И., Берштейн С. А., Соловьев А. И. Дефицит кислорода в тканях и их кровоснабжение. — Успехи физiol. наук, 1981, 12, № 4, с. 77—98.
- Жиронкин А. Г., Панчин А. Ф., Сорокин П. А. Влияние повышенного парциального давления кислорода на организм человека и животных. — Л.: Наука, 1965.—187 с.
- Онопчук Ю. Н. Об одной общей схеме регуляции режимов внешнего дыхания, МОК и тканевого кровотока по кислородному запросу. — Кибернетика, 1980, № 6, с. 110—115.
- Хаютин В. М., Манвелян Л. Р. Гистомеханическая гипотеза рабочей гиперемии скелетных мышц. — В кн.: Корреляция кровоснабжения с метаболизмом и функцией. Тбилиси, 1969, с. 120—135.
- Lundin G., Ström G. The concentration of blood lactic acid in man during muscular work in relation to the partial pressure of oxygen on the inspired air. — Acta physiol. scand., 1947, 13, p. 253—266.

Институт кибернетики АН УССР, Киев;
Отдел физиологии кровообращения
Института физиологии им. А. А. Богомольца
АН УССР, Киев

Поступила в редакцию 18.05.82

УДК 612.2:612.13

НЕКОТОРЫЕ ПРИЧИНЫ ПОВЫШЕННОЙ КИСЛОРОДНОЙ ГИПОКСИИ

Механизмы исследованы с тах. В то же время за гипоксии («блокады») генации деривирующейся встречаящейся ческой гипоксии восстановленности крови, и др.]. Совершенно механизмы разделения кислорода в организме

Все это ограничено при острой гемодилемии и метаболической кислородной гипоксией развития гипоксии

Исследования 250 г. В качестве метгемоглобинемии нитрита натрия в литературными и животных гипоксии показатели исследований препарата. Газообмен местной новоканин артерии, венозной рода и pH артерии Radelkis». Параметры артериальной и венозной Рао и PvO₂, проводя поправку на метгемоглобина (С). Разность этих величин с помощью которых кислорода в артерии Смахов, и процент (Qm) регистрировалась с помощью по [2]. Потребление кислорода, исходя из величины Материал обработан

Введение к женному побледнению дыхания, с